

無限群が作用する扇を与える重み付き複体

土橋 宏康

平成 29 年 1 月 7 日

$N = \mathbf{Z}^r$ (r は 2 以上の整数)

定義 1

Σ : 非特異扇 \Leftarrow

$$\Sigma \setminus \{\{0\}\} \ni \forall \sigma = \mathbf{R}_{\geq 0}\mathbf{e}_1 + \mathbf{R}_{\geq 0}\mathbf{e}_2 + \cdots + \mathbf{R}_{\geq 0}\mathbf{e}_i \\ \text{for } \exists \{\mathbf{e}_1, \mathbf{e}_2, \dots, \mathbf{e}_r\} : N \text{ の基底}$$

Σ の任意の元の任意の面も Σ に属す

Σ の任意の二つの元 σ, τ に対して $\sigma \cap \tau$ は σ, τ の面

$\exists X$: 非特異トーリック多様体 $\supset T \simeq (\mathbf{C}^*)^r$

$X \setminus T$ の双対グラフ = $\{p(\sigma \setminus \{0\}) \mid \{0\} \neq \sigma \in \Sigma\}$ (単体復体)

$$(p : N_{\mathbf{R}} \setminus \{0\} \rightarrow S^{r-1} = (N_{\mathbf{R}} \setminus \{0\})/\mathbf{R}_{>0})$$

目的

非特異扇 Σ と $GL(N)$ の部分群 Γ で以下の条件をみたすものを構成したい。

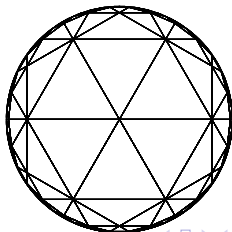
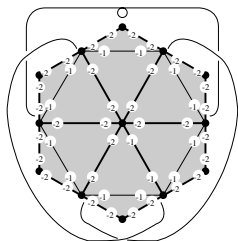
Σ : Γ -不変 ($\sigma \in \Sigma, \gamma \in \Gamma$ に対して $\gamma\sigma \in \Sigma$)

Σ/Γ : 有限

$\exists U$: Γ -不変な開集合 $\subset X$: Σ に対応するトーリック多様体
 Γ は U に固有不連続に作用

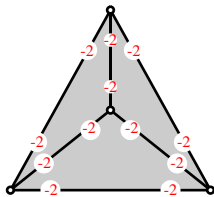
U/Γ の例 : Abel 多様体の退化族、カスプ特異点の特異点解消

上記の組 (Σ, Γ) を下図左のような単体を張り合わせたもので余次元 1 の単体の各頂点側に整数を付加したものから構成したい。

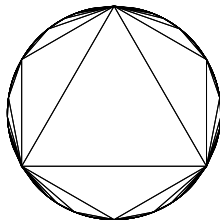


3次元の扇を
平面で切断した図

例

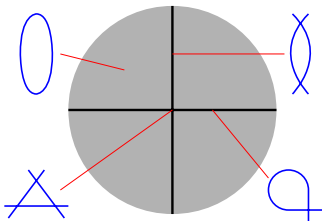
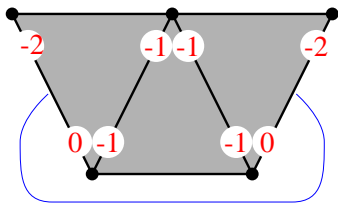


四面体の表面



3次元の扇を
平面で切断した図

左下の図からは右下図のような楕円曲線の2次元退化族が得られる

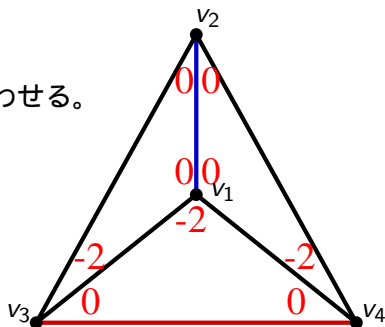


例

下図のものからは超楕円曲面 (楕円曲線上の楕円曲線束, $b_1 = 2$) の 2 次元退化族が得られる。

四面体 $\overline{v_1 v_2 v_3 v_4}$ の面どうしを張り合わせる。

$$\overline{v_1 v_2 v_3} \leftrightarrow \overline{v_1 v_2 v_4}, \quad \overline{v_1 v_3 v_4} \leftrightarrow \overline{v_2 v_4 v_3}$$



定義 2

$r-1$ 次元単体の集まりで $r-2$ 次元面どうしを次の条件 (i), (ii) をみたすように張り合わせたもの Δ を単体系と呼ぶ。

(記号: $\Delta^i := \{\Delta \text{ の } i \text{ 次元の単体}\}$,

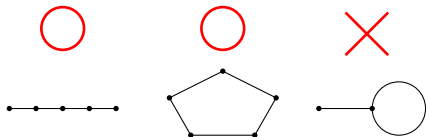
$\Delta^i(\alpha) := \{\beta \in \Delta^i \mid \alpha \text{ は } \beta \text{ の面}\}$ for $\alpha \in \Delta^j$ ($0 \leq j < i$)

$n(\alpha, i)$: α の十分小さい近傍に含まれる i 次元単体の
連結成分の個数 ($\geq \#\Delta^i(\alpha)$)



左図のとき、 $n(\alpha, 1) = 2$

(i) $1 \leq n(\alpha, r-1) \leq 2$ for $\forall \alpha \in \Delta^{r-2}$



(ii) Δ : 連結, i.e., $\forall \alpha, \forall \alpha' \in \Delta^{r-1}$ に対して

$\exists \alpha_1 = \alpha, \exists \alpha_2, \dots, \exists \alpha_l = \alpha' \in \Delta^{r-1}$ s.t. $\alpha_i \cap \alpha_{i+1} \in \Delta^{r-2}$ for $1 \leq i < l$

余次元 1 と 2 の単体の周り

$$\Delta_{\text{in}}^{r-2} := \{\alpha \in \Delta^{r-2} \mid n(\alpha, r-1) = 2\},$$

$$\Delta_{\text{bd}}^{r-2} := \{\alpha \in \Delta^{r-2} \mid n(\alpha, r-1) = 1\}$$

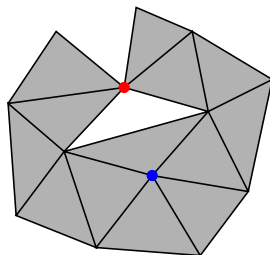
注 右図の赤い点のような $r-3$ 次元単体はない。

$\beta \in \Delta^{r-3}$, $n(\beta, r-1) < \infty$ のとき,

$$n(\beta, r-2) = n(\beta, r-1) \iff \Delta_{\text{bd}}^{r-2}(\beta) = \emptyset$$

または

$$n(\beta, r-2) = n(\beta, r-1) + 1 \iff \Delta_{\text{bd}}^{r-2}(\beta) \neq \emptyset$$



$$\bullet \in \Delta_{\text{in}}^{r-3}$$

$$\Delta_{\text{in}}^{r-3} := \{\beta \in \Delta^{r-3} \mid n(\beta, r-2) = n(\beta, r-1) < \infty\},$$

$$\Delta_{\text{bd}}^{r-3} := \Delta^{r-3} \setminus \Delta_{\text{in}}^{r-3}$$

Z-weight

$$W := \{(\alpha, \nu) \in \Delta_{\text{in}}^{r-2} \times \Delta^0 \mid \nu \in \alpha\}$$

定義 3

写像 $\phi : W \rightarrow \mathbf{Z}$ を Δ の **Z-weight** と呼ぶ。

Z-weight を持つ有限単体系 Δ から以下のようにして扇を構成する
 $f : \tilde{\Delta} \rightarrow \Delta$: 被覆 (ある開集合への制限が普遍被覆となる) を構成
 $\overline{v_1 v_2 \cdots v_r} \in \tilde{\Delta}^{r-1}$, $\{e_1, \dots, e_r\} : N$ の基底を選び、 $h(v_i) = e_i$ とする。
 $v'_1 v_2 \cdots v_r \in \tilde{\Delta}^{r-1}$ ($\implies \overline{v_2 \cdots v_r} \in \tilde{\Delta}_{\text{in}}^{r-2}$) のとき、

$$h(v_1) + h(v'_1) + \sum_{i=2}^r \phi(\overline{v_2 \cdots v_r}, v_i) h(v_i) = 0$$

により、 $h(v'_1)$ を定め、 \dots 写像 $h : \tilde{\Delta}^0 \rightarrow N \setminus \{0\}$ を定めたとき、

$$\Sigma := \{\mathbf{R}_{\geq 0} h(v_1) + \cdots + \mathbf{R}_{\geq 0} h(v_l) \mid \overline{v_1 \cdots v_l} \text{ は } \tilde{\Delta} \text{ の単体}\} \cup \{\{0\}\}$$

が扇となるための条件を考える。

Z-weight の満たすべき条件 (M)

$\forall \alpha = \overline{w_1 w_2 \cdots w_{r-2}} \in \Delta_i^{r-3}$ に対して ϕ が次をみます。

$v_1, \dots, v_s \in \Delta^0$ ($s = n(\alpha, r-1)$) を α の周りの頂点、即ち、

$\overline{v_i v_{i+1} w_1 \cdots w_{r-2}} \in \Delta^{r-1}$ ($1 \leq i \leq s, v_{s+1} = v_1$) としたとき、

次のいずれかが成り立つ。

(M-i) $\exists \mathbf{e}_1, \dots, \mathbf{e}_s, \mathbf{f}_1, \dots, \mathbf{f}_{r-2} \in N$ s.t. $\{\mathbf{e}_i, \mathbf{e}_{i+1}, \mathbf{f}_1, \dots, \mathbf{f}_{r-2}\}$ は N の基底

$$\mathbf{e}_{i-1} + \phi(\beta_i, v_i) \mathbf{e}_i + \mathbf{e}_{i+1} + \sum_{j=1}^{r-2} \phi(\beta_i, w_j) \mathbf{f}_j = 0 \quad (1 \leq i \leq s)$$

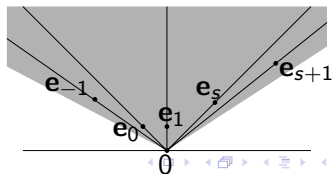
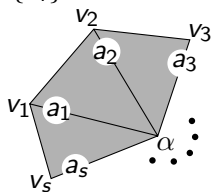
$$\beta_i = \overline{v_i w_1 \cdots w_{r-2}}, \mathbf{e}_0 = \mathbf{e}_s, \mathbf{e}_{s+1} = \mathbf{e}_1$$

$\mathbf{e}_1, \dots, \mathbf{e}_s$ は $\mathbf{R}_{\geq 0} \mathbf{f}_1 + \cdots + \mathbf{R}_{\geq 0} \mathbf{f}_{r-2}$ の周りを一回転している。

(M-ii) $\exists \mathbf{e}_i \in \mathbf{Z}^2$ ($i \in \mathbf{Z}$) s.t. $\{\mathbf{e}_i, \mathbf{e}_{i+1}\}$ は \mathbf{Z}^2 の基底

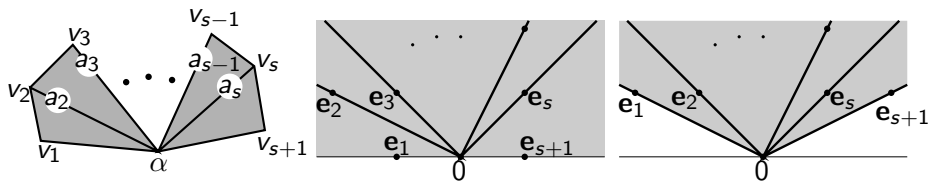
$$\mathbf{e}_{i-1} + a_i \mathbf{e}_i + \mathbf{e}_{i+1} = 0 \quad (i \in \mathbf{Z}, a_i = \phi(\beta_j, v_j) \text{ if } i \equiv j \pmod{s})$$

$\{\mathbf{e}_i\}$ は \mathbf{R}^2 の半平面の片側にある。 ($\forall a_i \leq -2$ ならば OK。)



Z-weight の満たすべき条件 (C)

$\forall \alpha = \overline{w_1 w_2 \cdots w_{r-2}} \in \Delta_b^{r-3}$ に対して ϕ が次をみます。
 $v_1, \dots, v_{s+1} \in \Delta^0$ ($s = n(\alpha, r-1)$) を α の周りの頂点、即ち、
 $\overline{v_i v_{i+1} w_1 \cdots w_{r-2}} \in \Delta^{r-1}$ ($1 \leq i \leq s$) とする。
 $s > 1$ のとき、 $\{e_1, e_2\}$ を \mathbb{Z}^2 の基底とし、 $e_3, \dots, e_{s+1} \in \mathbb{Z}^2$ を
 $e_{i-1} + a_i e_i + e_{i+1} = 0$ ($2 \leq i \leq s$, $a_i = \phi(\overline{v_i w_1 \cdots w_{r-2}}, v_i)$)
 により決めたとき、 $\{e_i\}$ は \mathbb{R}^2 の半平面の片側にある。



注 $\forall a_i \leq -2$ ならば条件をみます。

定理 1 と定理 2

以下 $r \geq 3$ とする。

定理 1

$\exists \tilde{\Delta}$: 単体系, $\exists f : \tilde{\Delta} \rightarrow \Delta$ 被覆写像, $f|_{f^{-1}(T)}$ は普遍被覆となる。

定理 2

$\exists h : \tilde{\Delta}^0 = \{\tilde{\Delta} \text{の頂点の集合}\} \rightarrow N \setminus \{0\}$ s.t.
 $\{h(v_1), \dots, h(v_r)\} : a \text{ basis of } N \text{ for } \forall \overline{v_1 \cdots v_r} \in \tilde{\Delta}^{r-1},$

$$h(v) + h(v') + \sum_{j=1}^{r-1} \tilde{\phi}(\beta, w_j) h(w_j) = 0 \quad (1)$$

for $\forall \beta = \overline{w_1 \cdots w_{r-1}} \in \tilde{\Delta}_{\text{in}}^{r-2}, \overline{vw_1 \cdots w_{r-1}}, \overline{v'w_1 \cdots w_{r-1}} \in \tilde{\Delta}^{r-1}.$

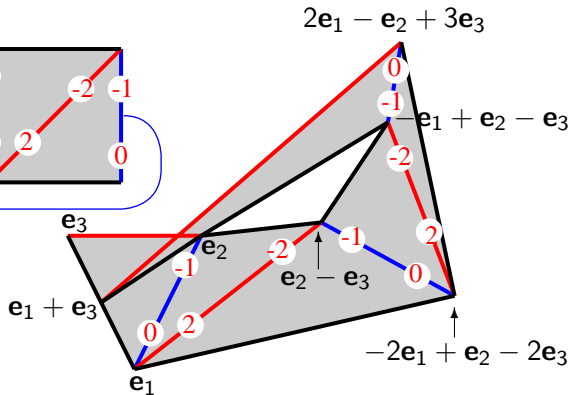
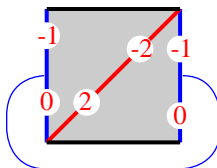
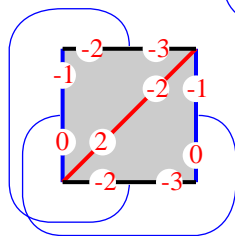
Σ が扇にならない例

$$\Sigma := \{ \mathbf{R}_{\geq 0} h(v_1) + \cdots + \mathbf{R}_{\geq 0} h(v_i) \mid \overline{v_1 \cdots v_i} \text{ は } \tilde{\Delta} \text{ の単体} \} \cup \{0\}$$

注 Σ は扇とは限らない。

左下図の Δ は 2次元トーラスの三角形分割条件 (M) をみたま。

右図は (C) をみたまない。



Σ が扇となるための条件を考える

$\bar{h}: \tilde{\Delta} \rightarrow S^{r-1} (= (N_{\mathbb{R}} \setminus \{0\}) / \mathbb{R}_{>0})$ を以下のように定める。
 $\alpha = \overline{v_1 v_2 \cdots v_r} \in \tilde{\Delta}^{r-1}$ のとき α から S^{r-1} への写像 \bar{h}_α を

$$\bar{h}_\alpha(t_1 v_1 + t_2 v_2 + \cdots + t_r v_r) = p(t_1 h(v_1) + t_2 h(v_2) + \cdots + t_r h(v_r))$$

と定める ($p: N_{\mathbb{R}} \setminus \{0\} \rightarrow S^{r-1}$ は自然な射影)。

$\bar{h} := \{\bar{h}_\alpha\}_{\alpha \in \tilde{\Delta}^{r-1}}$ ($\alpha, \beta \in \tilde{\Delta}^{r-1}, \alpha \cap \beta \neq \emptyset$ のとき $\bar{h}_\alpha|_{\alpha \cap \beta} = \bar{h}_\beta|_{\alpha \cap \beta}$)

命題 3

$\bar{h}|_{f^{-1}(T)}$ は局所同相写像である。

$y \in S^{r-1}$ の対称点を y^* で表す。 ($y = p(v) \implies y^* = p(-v)$)

$y_1, y_2 \neq y_1^* \in S^{r-1}$ に対して

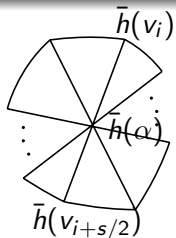
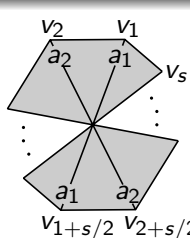
$\overline{y_1 y_2} = p(\{(1-t)z_1 + tz_2 \mid 0 \leq t \leq 1\})$ とする。 ($z_i \in p^{-1}(y_i)$)

定義 S^{r-1} の部分集合 X が $x, y \neq x^* \in X \implies \overline{xy} \subset X$ をみたすとき、凸であるという。

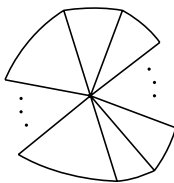
定理 4

定義 4

$\Delta_f^{r-3} \ni \alpha = \overline{w_1 \cdots w_{r-2}} : \text{symmetric} \iff s = n(\alpha, r-1)$ が偶数であり、
 $\overline{v_i v_{i+1} w_1 \cdots w_{r-2}} \in \Delta^{r-1}$ ($1 \leq i \leq s$, $v_{s+1} = v_1$) とするとき
 $\phi(\overline{v_1 w_1 \cdots w_{r-2}}, v_i) = \phi(\overline{v_{i+s/2} w_1 \cdots w_{r-2}}, v_{i+s/2})$ ($1 \leq i \leq s/2$).



symmetric のとき
 左図のようになり、
 右図のようには
 ならない。



$h(v_i), h(v_{i+s/2}), h(w_j)$ ($1 \leq j \leq r-2$) は同一超平面上にある。

定理 4

Δ の \mathbf{Z} -weight が $(M), (C)$ をみたし、 Δ_f^{r-3} の各元が *symmetric* ならば、
 \bar{h} は *injective* であり、その像は凸である。 ($\implies \Sigma$ は扇である。)

定理 4 の証明

E. B. Vinberg, Discrete Linear Groups generated by Reflections, Math. USSR Izvestija Vol. 5 (1971), 1083-1119. 中の segment という idea を使う。

定義 5

$s : \text{a segment on } \tilde{\Delta} \leftarrow s : [0, 1] \rightarrow \tilde{\Delta}$ は単射連続写像であり,
 $(\bar{h} \circ s)(1) \neq (\bar{h} \circ s)(0)^*$ のとき $\text{Im}(\bar{h} \circ s) = \overline{(\bar{h} \circ s)(0)(\bar{h} \circ s)(1)}$
 $(\bar{h} \circ s)(1) = (\bar{h} \circ s)(0)^*$ のときは 任意の $t \in (0, 1)$ に対して
 $\text{Im}(\bar{h} \circ s) = \overline{(\bar{h} \circ s)(0)(\bar{h} \circ s)(t) \cup (\bar{h} \circ s)(t)(\bar{h} \circ s)(1)}$

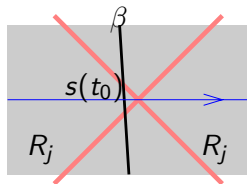
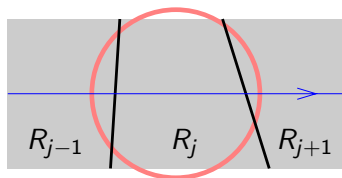
$\tilde{\Delta} \ni \forall x_0 \neq \forall x$ に対して
 $s(0) = x_0, s(1) = x$ となる segment s が存在することを示せばよい。

x_0 を固定する。 $x_0 \in \alpha_0$ となる $\alpha_0 \in \tilde{\Delta}^{r-1}$ を一つ選ぶ。
 $\Lambda_0 = \{\alpha_0\}, \Lambda_1 := \{\alpha \in \tilde{\Delta}^{r-1} \mid \dim \alpha_0 \cap \alpha = r - 2\},$
 $\Lambda_{i+1} := \{\alpha \in \tilde{\Delta}^{r-1} \setminus (\Lambda_{i-1} \cup \Lambda_i) \mid \dim \alpha \cap \beta = r - 2 \text{ for } \exists \beta \in \Lambda_i\},$
 $R_i := \bigcup_{\alpha \in \Lambda_i} \alpha \implies \tilde{\Delta} = \bigcup_{i \geq 0} R_i$

定理 4 の証明の続き

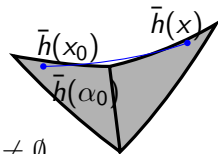
次を i に関する帰納法で証明する。

$R_i \ni \forall x \neq x_0$ に対して $s(0) = x_0, s(1) = x$ となる segment s が存在し、
 (A) $\text{Im}(s) \cap \beta^o = \{s(t_0)\}$ ($\beta \in \widetilde{\Delta}^{r-2}, t_0 \in (0, 1)$) ならば
 $s((t_1, t_0)) \subset R_j, s((t_0, t_2)) \subset R_{j+1}$ for $\exists t_1 < t_0 < \exists t_2, 0 \leq \exists j < i$
 をみます。



$i = 0, 1$ のときは正しい。

(M), (C) と Δ_f^{r-3} の各元が symmetric
 という条件より右図のようにはならない。



$\therefore x \in \alpha_1 \in \Lambda_1$ のとき、 $\overline{h(x_0)h(x)} \cap \overline{h(\alpha_0) \cap \alpha_1} \neq \emptyset$

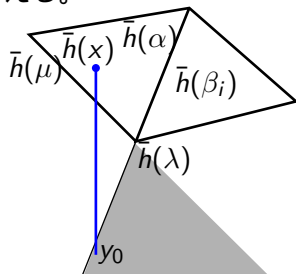
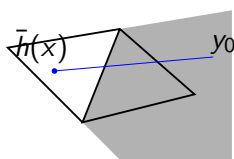
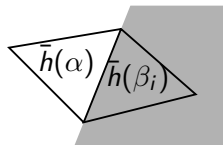
定理 4 の証明の続き

$i (\geq 1)$ まで正しいと仮定し、 $x \in R_{i+1}$ とする。

$x \in \exists \alpha \in \Lambda_{i+1} \implies \exists \beta_i \in \Lambda_i$ s.t. $\dim \alpha \cap \beta_i = r - 2$,

$y_0 := \bar{h}(x_0)$ は左下図の灰色の領域内にある (\because 条件 (A))。

下中図の場合は OK, 右下図のような場合を考える。



$\exists \mu : \alpha$ の $r - 2$ 次元面 s.t. $\bar{h}(\mu) \cap \overline{y_0 \bar{h}(x)} \neq \emptyset$

以下で $\exists \beta'_i \in \Lambda_i$ s.t. $\mu = \alpha \cap \beta'_i$ を示す。

$\lambda := \mu \cap (\alpha \cap \beta_i) \implies \dim \lambda = r - 3$

($\because \alpha$ は $r - 1$ 次元単体, $\dim \mu = \dim(\alpha \cap \beta_i) = r - 2$).

定理 4 の証明の続き

$\lambda \in \tilde{\Delta}_f^{r-3}$ ($\because \lambda^\circ \subset R_i$) の任意の点と x_0 は segment で結べる。)
 $\implies \tilde{\Delta}^{r-1}(\lambda) = \{\alpha, \beta_i, \dots, \beta_j, \beta'_{j+1}, \dots, \beta'_i\}$ ($j = i - \frac{1}{2}n(\lambda, r-1) + 1$)
 $\beta_k \cap \beta_{k+1}, \beta'_k \cap \beta'_{k+1} \in \tilde{\Delta}^{r-2}(\lambda)$ for $j \leq k < i$ ($\beta'_j = \beta_j$), $\beta'_i \cap \alpha = \mu$.

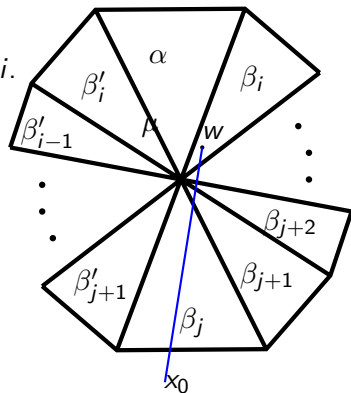
w を λ の近くの β'_i の点とする。

$\implies \overline{y_0 \bar{h}(w)} \cap \bar{h}(\beta_k \cap \beta_{k+1}) \neq \emptyset$ for $j \leq \forall k < i$.
 ($\because \lambda$ は symmetric)

$\implies \beta_{i-1} \in \Lambda_{i-1} \implies \beta_{i-2} \in \Lambda_{i-2}$
 $\implies \dots \beta_j \in \Lambda_j$ (\because 条件 (A)).

$\implies \beta'_{j+1} \in \Lambda_{j+1} \implies \beta'_{j+2} \in \Lambda_{j+2}$
 $\implies \dots \beta'_i \in \Lambda_i$.

(証明終)



注 1

注 1. Δ_f^{r-3} の元が symmetric でなくても \bar{h} が injective になることもある。

四面体 $\overline{v_1 v_2 v_3 v_4}$ の面どうしを

$$\overline{v_1 v_2 v_3} \leftrightarrow \overline{v_1 v_2 v_4}, \quad \overline{v_1 v_3 v_4} \leftrightarrow \overline{v_2 v_3 v_4}$$

と張り合わると条件 (M), (C) を満たす。

黒い辺は symmetric ではない。

